

МОСКОВСКИЙ ГОСУДАРСТВЕННЫЙ УНИВЕРСИТЕТ
имени М.В. ЛОМОНОСОВА

Физический факультет

Кафедра магнетизма

**В.Н. Прудников, Н.С. Перов,
М.В. Прудникова**

ЭФФЕКТ ХОЛЛА
Спецпрактикум

Учебное пособие



МОСКВА – 2012

УДК 537(075.8)

ББК 22.334я73

П85

Рецензенты:
профессор *А.Б. Грановский*;
профессор *А.В. Ведяев*

Прудников В.Н., Перов Н.С., Прудникова М.В.

П85 **Эффект Холла:** Спецпрактикум: Учебное пособие. – М.:
МАКС Пресс, 2012. – 28 с.
ISBN 978-5-317-04286-8

Рассматриваются природа и основные методы изучения эффекта Холла в ферромагнетиках. Приведено описание установки для изучения зависимости намагниченности от механических напряжений. Изложен порядок выполнения измерений и обработки результатов. Имеется список вопросов для проверки усвоения материала.

Для студентов старших курсов бакалавриата и магистрантов по специальностям «Физика магнитных явлений» и «Физика конденсированного состояния».

УДК 537(075.8)
ББК 22.334я73

*Печатается по решению
учебно-методической комиссии кафедры магнетизма*

ISBN 978-5-317-04286-8

© Прудников В.Н., Перов Н.С.,
Прудникова М.В., 2012

© Физический факультет МГУ
имени М.В. Ломоносова, 2012

Оглавление

Электропроводность в скрещенных электрическом и магнитном полях.	4
Эффект Холла	7
Эффект Холла в ферромагнитных материалах	8
Побочные явления.	12
Экспериментальная часть.....	16
ЗАДАНИЯ.....	20
Размагничивание образца	20
Измерение ЭДС Холла.....	21
Измерение намагниченности	22
Проведение измерений намагниченности	23
Обработка результатов	23
Приложение 1.	24
Дополнительные вопросы	25

Электропроводность в скрещенных электрическом и магнитном полях

Эффект Холла относится к гальваномагнитным эффектам, которые возникают при воздействии магнитного поля B на упорядоченно движущиеся в электрическом поле E носители заряда.

Если электропроводность материала будет σ , плотность электрического тока j , то в соответствии с законом Ома

$$\vec{j} = \sigma \vec{E} \quad (1)$$

Следует отметить, что электропроводность является тензорной величиной, которая в общем виде имеет компоненты, не равные нулю:

$$\sigma = \begin{pmatrix} \sigma_{xx} & 0 & 0 \\ 0 & \sigma_{yy} & 0 \\ 0 & 0 & \sigma_{zz} \end{pmatrix} \quad (2)$$

В изотропной среде имеют место быть соотношения $\sigma_{xx} = \sigma_{yy} = \sigma_{zz}$.

При движении носителей в скрещенных электрическом и магнитном полях на носители заряда действует сила

$$\vec{F} = q\vec{E} + q[\vec{v}\vec{B}] \quad (3)$$

Под действием этой силы носители дрейфуют в направлении, перпендикулярном электрическому и магнитному полям.

В реальных кристаллах, когда свободный пробег (расстояние, которое носитель проходит между двумя последовательными соударениями) носителей ограничен, в слабом магнитном поле соударения не дают возможности завершить движение по циклоиде.

Уравнение движения носителей в этом случае имеет вид:

$$\frac{d(m\vec{v})}{dt} = q\vec{E} + q[\vec{v}\vec{B}] - m\vec{v}/<\tau>, \quad (4)$$

где m - эффективная масса носителей, $<\tau>$ - среднее время свободного пробега.

Решая уравнение движения, получаем

$$v_y/v_x = \left(\frac{q}{m} \right) \langle \tau \rangle B_z \equiv \mu B_z, \quad (5)$$

где $\frac{q}{m} \langle \tau \rangle$ - дрейфовая подвижность носителей тока.

Из последнего соотношения следует, что угол θ между направлением дрейфа носителя и направлением электрического поля E_x определяется равенством:

$$\tan \theta = \mu B_z \quad (6)$$

Значение $\theta = \pi/4$, при котором $\mu B = 1$, считается критическим, разделяющим области слабых и сильных магнитных полей.

В сильных магнитных полях $\mu B \gg 1$, например, $\theta \rightarrow \frac{\pi}{2}$, траектория движения носителей совпадает с траекторией движения без соударений.

В слабых магнитных полях, когда сила Лоренца незначительно влияет на движение носителей заряда, гальваномагнитные эффекты в однородной среде зависят в основном от деталей доминирующих механизмов рассеяния. В сильных же магнитных полях гальваномагнитные эффекты определяются главным образом топологией поверхности Ферми.

При наличии магнитного поля в тензоре электропроводности (2) появляются недиагональные компоненты, обусловленные несовпадением направлений результирующих электрического поля и тока. В этом случае связь тока с электрическим полем описывается тензорным уравнением :

$$j_i = \sum_j \sigma_{ij}(B) E_j \quad (7)$$

С учетом принятых ранее направлений внешних полей имеем:

$$\begin{aligned} j_x &= \sigma_{xx}(B) E_x + \sigma_{xy}(B) E_y \\ j_y &= \sigma_{yx}(B) E_x + \sigma_{yy}(B) E_y \\ j_z &= \sigma_{zz}(B) E_z \end{aligned} \quad (8)$$

Для изотропной среды

$$\begin{aligned}\sigma_{xx}(B) &= \sigma_{yy}(B) = <\mu(B)> q n \\ \sigma_{xy}(B) &= -\sigma_{yx}(B) = <\mu^2(B)> q n B_z \\ \sigma_{zz}(B) &= <\mu> q n,\end{aligned}\tag{9}$$

где дрейфовая подвижность носителей заряда $-<\mu(B)> = \left\langle \frac{\mu}{1 + \mu^2 B^2} \right\rangle$,

$$<\mu^2(B)> = \frac{\mu^2}{1 + \mu^2 B^2}$$

В ряде случаев измерения выполняются при условии, что j - независимая переменная, тогда целесообразно инвертировать (7) с заменой тензора электропроводности тензором удельного сопротивления:

$$E_i = \sum_k \rho_{ik}(B) j_k \tag{10}$$

Уравнение (10) может быть представлено в развернутом виде

$$\begin{aligned}E_x &= \rho_{xx}(B) j_x + \rho_{xy}(B) j_y \\ E_y &= \rho_{yx}(B) j_x + \rho_{yy}(B) j_y \\ E_z &= \rho_{zz}(B) j_z\end{aligned}\tag{11}$$

В результате из (8), (11), с учетом (9) получим связь между компонентами тензоров электропроводности и удельного электрического сопротивления:

$$\sigma_{xx} = \frac{\rho_{xx}}{\rho_{xx}^2 + \rho_{xy}^2}, \quad \sigma_{xy} = -\frac{\rho_{xy}}{\rho_{xx}^2 + \rho_{xy}^2}, \quad \sigma_{zz} = \frac{1}{\rho_{zz}} \tag{12}$$

Для обратной зависимости $\rho_{ij} = f(\sigma_{ij})$ формулы аналогичны.

Эффект Холла

Пусть в длинном образце электрический ток направлен вдоль его длины (рис. 1). При появлении магнитного поля B_z , перпендикулярного

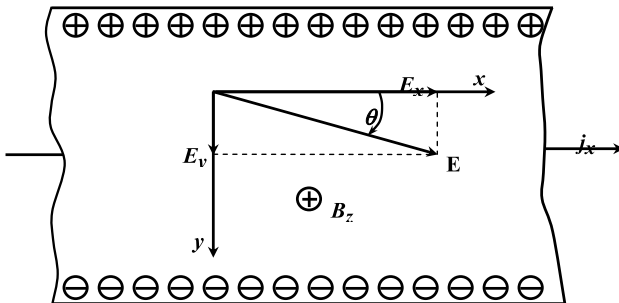


Рис.1

поверхности образца, под действием силы Лоренца носители заряда будут отклоняться в направлении y к грани образца. В результате, на одной из граней образца скапливаются отрицательные заряды, а на противоположной – положительные. Возникает поперечное электрическое поле E_y (Рис. 1), уравновешивающее силу Лоренца.

В результате носители заряда будут опять двигаться вдоль направления тока j_x со средней скоростью v_x , как и в отсутствии магнитного поля, а направление электрического поля E изменится на угол Холла θ относительно направления j_x .

В режиме ЭДС Холла ($j_y = 0$) рассмотрим электропроводность и удельное электрическое сопротивление материала в магнитном поле. Из соотношений (8) и (11) получаем

$$\sigma(B) = \frac{1}{\rho(B)} = \frac{j_x}{E_x} = \frac{\sigma_{xx}^2(B) + \sigma_{xy}^2(B)}{\sigma_{xx}(B)} = \frac{1}{\rho_{xx}(B)} \quad (13)$$

Холловскую подвижность носителей можно оценить из соотношений (8), (9), (11):

$$\operatorname{tg} \theta = \frac{E_y}{E_x} = \frac{\sigma_{xy}(B)}{\sigma_{yy}(B)} = -\frac{\rho_{xy}(B)}{\rho_{yy}(B)} = \mu_{hall}(B) B_z, \quad (14)$$

где $\mu_{hall}(B) = \langle \mu^2(B) \rangle / \langle \mu(B) \rangle$ - холловская подвижность носителей.

Из соотношения (14) следует, что электрическое поле вдоль направления y :

$$E_y = \mu_{hall}(B) E_x B_z \quad (15)$$

Учитывая соотношения (8) и (12), имеем:

$$E_y = \frac{\sigma_{xy}(B)}{\sigma_{xx}^2(B) + \sigma_{xy}^2(B)} j_x = \rho_{yx} j_x = R_H(B) j_x B_z , \quad (16)$$

$$\text{где } R_H(B) = \frac{1}{qn} \frac{\langle \mu^2(B) \rangle}{\langle \mu(B) \rangle^2} \frac{1}{1 + \mu_{hall}^2(B_z^2)} = \frac{r_H(B)}{qn} \quad \text{- коэффициент Холла.} \quad (17)$$

Знаки правых сторон выражений (14) и (17) определяются типом носителей:

для электронов – «минус», для дырок – «плюс».

Сомножитель $R_H = \frac{\langle \mu^2(B) \rangle}{\langle \mu(B) \rangle^2} \frac{1}{1 + \mu_{hall}^2(B_z^2)}$ называется фактором Холла.

Эффект Холла в ферромагнитных материалах

В 1879 году Эдвин Герберт Холл открыл эффект, названный его именем. В 1880 году им было обнаружено, что коэффициент Холла для железа более чем в 10 раз превышает значение коэффициента ранее исследованных образцов Ag и Au и в отличие от них положителен. Позднее Холл описал две основные особенности эффекта Холла в ферромагнетиках: ЭДС Холла не пропорциональна внешнему магнитному полю и сильно зависит от температуры.

При исследовании эффекта Холла в ферромагнетиках обычно рассматривается удельное холловское сопротивление:

$$\rho_H = \frac{E_y}{j_x} = \frac{\sigma_{xy}}{\sigma_{xx}^2 + \sigma_{xy}^2} = \rho_{yx} \quad (18)$$

Так как в ферромагнитных материалах индукция является суммой магнитных индукций внешнего и внутреннего магнитных полей: $B = \mu_0(H + I)$, где I - намагниченность, то:

$$\rho_H = R_0\mu_0H_z + R_A\mu_0I = R_0B_z + R_s\mu_0I, \quad (19)$$

где $R_A = R_0 + R_s$.

Коэффициент R_s связан со спин-орбитальным взаимодействием и потенциалом рассеяния, образуемым примесями, дефектами кристаллической решетки, фононами, магнонами и т.д. Коэффициенты R_0 и R_s существенно различаются по величине (во многих случаях $\frac{R_s}{R_0} \approx 10^2$).

Окончательно для определения холловских коэффициентов можно записать:

$$E_y = R_0(H + I) + R_sI = R_0H + (R_0 + R_s)I = R_0H + R_AI \quad (20)$$

$$\text{В общем случае } \frac{\Delta E_y}{\Delta B_z} = R_0 + R_s \frac{\Delta I}{\Delta B} \quad (21)$$

Для величин, непосредственно измеряемых при исследовании эффекта Холла, можно записать следующие соотношения:

$$U_x = aE_x, \quad J_x = bdj_x, \quad U_y = bE_y, \quad (22)$$

где U_x , U_y - разности потенциалов (напряжения), E_x , E_y - электрические поля,

a , b , d - длина, ширина и толщина образца, который имеет форму параллелепипеда.

j_x - плотность электрического тока.

$$\text{Таким образом } U_y = -\left(\frac{b}{a}\right)\mu_{hal}U_xB_z = -\frac{1}{d}R_HJ_xB_z \quad (23)$$

Вклад в эффект Холла, пропорциональный намагниченности, получил название ферромагнитного, спонтанного или аномального эффекта Холла (АЭХ). Этот вклад существует в парамагнетиках, в

ферромагнетиках выше температуры Кюри, ферри- и антиферромагнетиках, в Кондо-системах. Поэтому название «аномальный эффект Холла» является наиболее общим.

В настоящее время достаточно полно разработана теория этого явления. В этом большая заслуга отечественных ученых и, в частности, сотрудников кафедры магнетизма физического факультета МГУ, принадлежащих к школе профессора Е. И. Кондорского.

Математическое описание явлений переноса связано с установлением уравнения баланса для функции распределения, описывающей вероятность нахождения частицы в любом заданном состоянии. Уравнение баланса представляет собой сумму двух членов: полевого члена, обусловленного ускорением под действием поля, и столкновительного члена, который ограничивает это ускорение. Наиболее удобной методикой, позволяющей получить необходимые уравнения для функции распределения электронов, является метод матрицы плотности, в котором уравнение движения в обычной квантовомеханической форме после некоторого анализа могут быть сведены к кинетическим уравнениям.

Одночастичный гамильтониан электронов проводимости кристаллического ферромагнетика в нерелятивистском приближении может быть записан в виде:

$$H^{(0)} = \frac{-\vec{p}^2}{2m} + U(\vec{r}) + R(\vec{r}), \quad (24)$$

где $U(\vec{r})$ - периодический потенциал, создаваемый как обменным взаимодействием, так и кристаллической решеткой; $R(\vec{r})$ - потенциал рассеяния, связанный с любыми нарушениями периодичности (примеси, тепловые колебания токов, магнитные неоднородности). Если первый член гамильтониана характеризует действие силы Лоренца, то последующие свидетельствуют о том, что имеется АЭХ, пропорциональный магнитному моменту, и приводят к созданию асимметрии при рассеянии электронов

проводимости, приводящей к холловскому закручиванию в отсутствии внешнего магнитного поля. Этим двум требованиям удовлетворяет спин-орбитальное взаимодействие. К возможным типам СОВ можно отнести собственное и несобственное. Собственное спин-орбитальное взаимодействие есть взаимодействие спина самого электрона с магнитным полем, которое создается при движении электрона по орбите. Несобственное СОВ является взаимодействием орбиты i -го электрона проводимости со спином другого j -го (локализованного или коллективизированного) электрона.

Аналогично двум моделям в теории магнетизма в теории аномального эффекта Холла существуют две модели. Первая модель соответствует зонной теории магнетизма, и в ней предполагается, что носителями АЭХ являются намагниченные электроны проводимости, холловское закручивание которых связано с действием собственного спин-орбитального взаимодействия. В рамках этой теории носителями АЭФ могут быть либо намагниченные d -подобные электроны проводимости, либо слабонамагниченные s -подобные электроны. Но поскольку парциальная намагниченность s -подобных электронов много меньше намагниченности d -электронов, то рассматривается АЭХ только за счет намагниченности d -подобных электронов.

Вторая модель предполагает, что электроны, обеспечивающие магнитный момент материала, локализованы, и их подмагничивающим действием на электроны проводимости можно пренебречь. Ненамагниченные электроны проводимости являются носителями АЭХ в этом случае. Зависимость аномальной холловской проводимости от намагниченности появляется либо за счет несобственного СОВ (взаимодействие орбиты электрона проводимости со спином локализованного электрона), либо при рассеянии на магнитных неоднородностях и за счет собственно СОВ магнитных электронов внутри иона.

В рамках первой модели была решена задача о вычислении аномальной холловской электропроводности для газа блоховских намагниченных электронов при наличии малой концентрации примесей. Под влиянием СОВ при рассеянии электрона на примесном центре возникает асимметрия в вероятности рассеяния, приводящая к холловскому закручиванию. Это «ассиметричное рассеяние» (scattering) в низшем порядке по потенциальному рассеяния приводит к зависимости $R_s \sim \lambda\rho$, а в следующем – к зависимости $R_s \sim \lambda\rho^2$. Поэтому при низких температурах при асимметричном рассеянии носителей тока для аномального коэффициента Холла имеем:

$$R_s = a\rho_0 + b\rho_0^2 \quad (25)$$

Значительная температурная зависимость аномального эффекта Холла заставила рассмотреть и другие возможные механизмы рассеяния, в частности на колебаниях кристаллической решетки (фононах) и на магнитных неоднородностях (магнонах). Было показано, что в первой модели основным механизмом рассеяния, определяющим температурную зависимость, является рассеяние на фононах. Для температур выше дебаевской было получено, что $R_s \sim \lambda\rho^2$.

В модели II основным механизмом рассеяния является рассеяние на магнитных неоднородностях, которое приводит к следующей зависимости

$$R_s \sim \rho_M, \quad (26)$$

где ρ_M – магнитный вклад в сопротивление проводника, который при $T < T_c$ монотонно увеличивается с повышением температуры, а при $T > T_c$ $\rho_M = const.$

Побочные явления

Точность данных, полученных при исследовании гальваномагнитных эффектов, зависит не только от тщательного анализа результатов измерений, но и от правильного учета влияния «побочные» явлений. Так,

«побочные» явления вносят вклад в измеряемое суммарное напряжение на поперечных холловских контактах:

$$U_{\Sigma} = U_{hall} + \sum_i^n U_i, \quad (27)$$

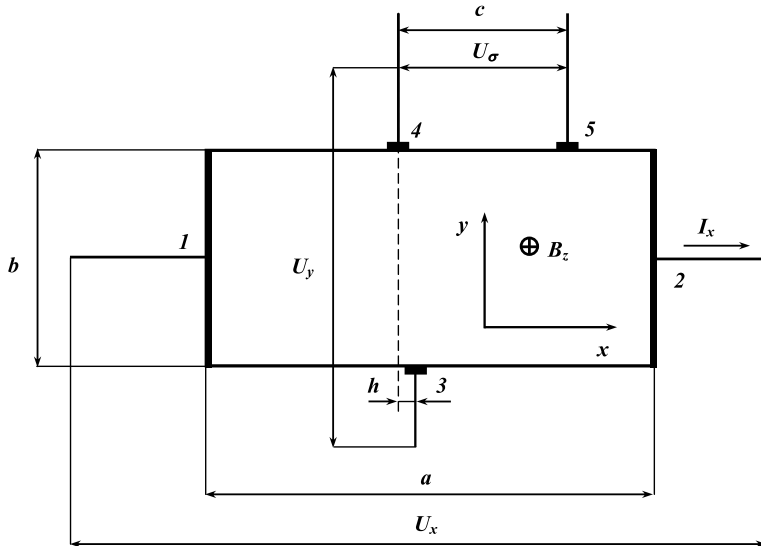


Рис.2.

где U_{hall} - ЭДС Холла, U_i - ЭДС побочных эффектов.

Рассмотрим величины, непосредственно измеряемые при исследовании эффекта Холла в режиме ЭДС Холла на примере образца, представленного на рис. 2.

Остановимся на восьми основных источниках побочных эффектов. К ним относятся:

- ЭДС асимметрии холловских контактов U_A , обусловленная падением напряжения при протекании первичного тока I_x через участок образца сопротивлением R_h , заключенного между сдвинутыми на расстояние h контактами Холла (рис. 2).
- ЭДС магниторезистивного эффекта U_M ;

- термоЭДС (U_T), возникающая в холловской цепи на контактах подводящий провод-образец при различии температур в поперечном направлении между холловскими контактами;
- ЭДС Эттинггаузена U_E - термо- ЭДС в цепи холловских контактов, связанная с разностью температур на холловских гранях образца, обусловленная тем, что носители, скорость которых в скрещенных полях E_x и B_z отличается от средней, отклоняются к холловским граням, причем «быстрые» носители отдают энергию решетке образца и нагревают одну холловскую грань образца, а «медленные» пополняют свою энергию за счет охлаждения решетки на другой холловской грани;
- ЭДС Нернста-Эттинггаузена U_{NE} , отличающаяся от U_E тем, что поток носителей обусловлен не электрическим полем E_x , а тепловым $\frac{dT}{dx}$, причем носители, движущиеся от «горячего» токового электрода к «холодному», имеют большую энергию по сравнению с носителями, движущимися в обратном направлении;
- ЭДС Пельтье-Нернста-Эттинггаузена U_{PNE} , отличающаяся от U_{NE} тем, что температурное поле $\frac{dT}{dx}$ обусловлено эффектом Пельтье – выделением или поглощением теплоты при прохождении тока силы I_x через контакт токового электрода с образцом;
- ЭДС Риги-Ледюка U_{RL} , отличающаяся от U_{NE} тем, что в данном случае подразумевается термомагнитный эффект – аналог эффекта Холла, в котором продольное температурное поле $\frac{dT}{dx}$ приводит к появлению поперечного температурного поля $\frac{dT}{dy}$ в скрещенном магнитном поле B_z ;

- ЭДС Пельтье-Риги-Ледюка U_{PRL} , отличающаяся от U_{RL} тем, что температурное поле $\frac{dT}{dx}$ обусловлено эффектом Пельте.

Оценка влияния ЭДС перечисленных побочных эффектов на ЭДС Холла показывает, что самый большой вклад в измеряемую поперечную ЭДС U_Σ вносят ЭДС асимметрии U_A и термо- ЭДС U_T .

Выполняя усреднение U_Σ по двум направлениям E_x и B_z , можно исключить ЭДС всех побочных явлений, кроме трех: U_E , U_{PNE} и U_{PRL} . Поэтому для уменьшения влияния термомагнитных эффектов, необходимо принимать тщательные меры для соблюдения изотермических условий эксперимента.

Термо- ЭДС может внести погрешность при измерении продольного напряжения проводимости U_σ при наличии температурного поля $\frac{dT}{dx}$, особенно в высокопроводящих образцах, когда U_σ мала.

Следует отметить, что проведенные на переходных металлах и сплавах специальные исследования показали, что U_E , U_{PNE} и U_{PRL} составляют всего несколько процентов от ЭДС Холла. Особенно это относится к ферромагнитным металлам и сплавам.

Окончательно, для различных комбинаций направлений магнитного поля $(+B_z, -B_z)$ и первичного тока $(+I_x, -I_x)$ измеряем суммарные падения напряжения U_1, U_2, U_3, U_4 .

$$(+B_z, +I_x) \rightarrow U_1 \quad (-B_z, +I_x) \rightarrow U_2 \quad (+B_z, -I_x) \rightarrow U_3 \quad (-B_z, -I_x) \rightarrow U_4$$

$$\text{Из этих измерений } U_{hall} + U_e + U_{PNE} + U_{PRL} = \frac{(U_1 - U_3) + (U_4 - U_2)}{4} \quad (28)$$

Экспериментальная часть

В данной работе исследуется ЭДС Холла в зависимости от величины намагниченности на образце сплава $Fe_{86.6}Al_{13.4}$. Выбор указанного сплава связан с относительно большим значением аномального эффекта Холла. Исследуемый образец имеет форму длинного параллелепипеда размером $6 \times 12 \times 150$ мм. Расположение токоподводящих и потенциальных

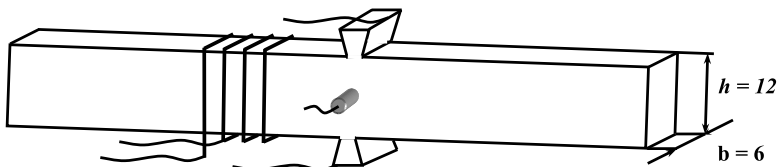


Рис.3.

электродов показано на рис. 3.

Токоподводящие и потенциальные электроды вырезаются вместе с образцом из одной пластины материала. Это обеспечивает надежность и неизменность положения контактов в процессе измерений. Столь необычная конфигурация исследуемого образца связана с измерением намагниченности образца, в частности с расположением измерительных катушек, что позволяет измерять намагниченность на одном и том же образце что и эффект Холла.

Принципиальная схема для измерения ЭДС Холла представлена на рис. 4. Схема состоит из четырёх блоков.

Первый блок (I) необходим для создания магнитного поля B_z . Источником магнитного поля является соленоид. Постоянный ток для питания соленоида создается источником постоянного тока (30В, 5А) с регулируемым выходом, что позволяет плавно изменять величину тока через соленоид от 0.1 А до 4.5 А. Величина тока контролируется по встроенным индикаторам блока питания. Наличие коммутатора K_2 позволяет изменять направление тока через соленоид, а значит и магнитное поле с $+B_z$ на $-B_z$. Кроме того, имеется блок с

автотрансформатором, с выхода которого можно подавать на соленоид регулируемое напряжение частотой 50 Гц, обеспечивающее переменный ток через соленоид. Этот переменный ток необходим для размагничивания образца. Подключение к соленоиду постоянного или переменного напряжения осуществляется коммутатором К₁. Сила тока в соленоиде измеряется многопредельным ампервольтметром Ц - 4311. Необходимо изменять режим работы амперметра при изменении вида тока (постоянный или переменный). Величина магнитного поля внутри соленоида рассчитывается по формуле $H = kI_x$, где коэффициент $K = 125$ Эрстед/Ампер.

Второй блок (II) предназначен для измерения намагниченности образца. Небольшая катушка с известным числом витков наматывается непосредственно на исследуемый образец. Намагниченность образца исследуется индукционно-импульсным методом. В качестве измерительного прибора используется измеритель потока магнитной индукции Ф18. Намагниченность рассчитывается по формуле $M = \frac{B - H}{4\pi}$, где индукция магнитного поля B и напряженность H намагничивающего поля определяются экспериментально.

Третий блок (III) для создания первичного тока I_x через образец состоит из стабилизированного источника тока ТЕС – 7М с регулируемым выходом, коммутатора К₃ для изменения направления тока с $+I_x$ на $-I_x$. Четвёртый блок (IV) связан с измерением холловского напряжения. Основным измерительным прибором является нановольтметр В 2-38. Нановольтметр обеспечивает измерение постоянного напряжения положительной или отрицательной полярности значением от 1×10^{-9} В до 2 В. Клеммы, служащие для подключения нановольтметра к объекту измерения, расположены в специальном отсеке ВХОД с правой стороны передней панели. Отсек закрывается двумя створками. На передней панели нановольтметра расположены следующие

переключатели и кнопки , которыми необходимо пользоваться во время измерений. Переключатель СЕТЬ для подключения прибора к питающему напряжению 220V. Переключатель имеет два положения ВКЛ и ВЫКЛ. Кнопка АВП – включение автоматического выбора поддиапазона измерения, повторное нажатие кнопки выключает этот режим. Кнопки ФИЛЬТР и ДЕМПФЕР для включения режима фильтрации сигнала и коррекции времени установления показаний.

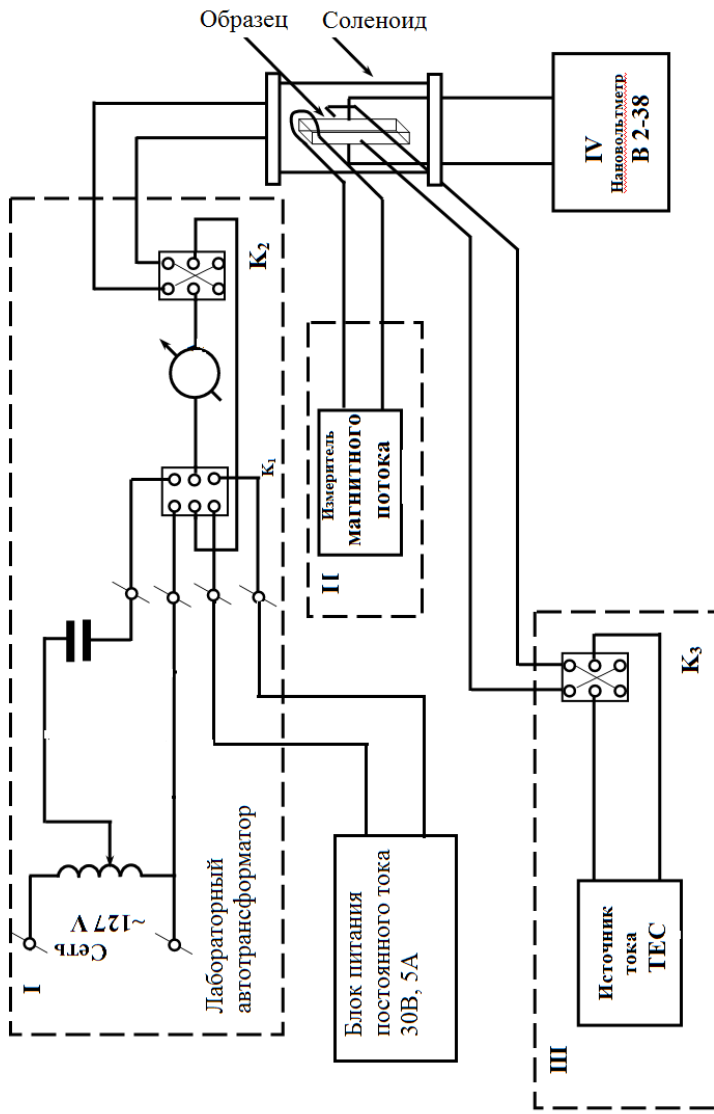


Рис.4. Блок схема установки для измерения эффекта Холла.

ЗАДАНИЯ

При подготовке к выполнению задачи необходимо расчертить таблицу для записи экспериментальных данных. Общий вид таблицы показан в приложении 1.

Прежде чем приступить к измерениям, необходимо включить все измерительные приборы и прогреть их в течение **15** минут. Ещё через **15** минут поставить коммутатор K_3 , который переключает направление первичного тока через образец, в одно из рабочих положений.

После того как все приборы прогреты и образец размагнитчен можно приступать к измерениям ЭДС Холла при различных значениях величины напряженности магнитного поля, начиная с 10 эрстед до 500 эрстед. Промежутки между соседними значениями магнитного поля в начале измерений должны быть не более 10 эрстед. По достижении магнитного поля в 100 эрстед промежутки между соседними значениями магнитного поля можно увеличить до 20 эрстед. Начиная с 200 эрстед, интервалы между значениями магнитного поля можно сделать равными 50 эрстед.

Размагничивание образца

С помощью переключателей K_1 и K_2 к соленоиду необходимо подключить переменный ток (Рис 4). Амперметр Ц-4311 должен быть включен в режим измерения переменного тока. Плавно повышая напряжение на выходе источника тока, достигнуть ограничителя, а затем также плавно снизить напряжение до нуля. После размагничивания, воспользовавшись переключателем K_1 необходимо подключить соленоид к выходу источника постоянного напряжения. Прибор для измерения силы электрического тока Ц- 4311 переключить в режим измерения постоянного тока.

Измерение ЭДС Холла

Перед началом измерений необходимо убедиться, что величина первичного тока, источником которого является ТЕС - 7М, составляет **3** ампера. Если величина тока отлична от 3А, то необходимо регулировкой тока на передней панели прибора ТЕС-7М добиться искомого значения. Как было отмечено ранее, значительный вклад (побочный) в измеряемую величину холловского напряжения вносит напряжение, возникающее за счёт несимметрии холловских контактов. Чтобы в этом убедиться экспериментально, необходимо провести измерения (с помощью нановольтметра В 2-38) разности потенциалов в отсутствии магнитного поля ($H=0$). Хотя эта разность потенциалов не используется при обработке экспериментальных данных, тем не менее, интересно сравнить полученную величину со значениями холловского напряжения в максимальном поле 500 эрстед. Легко можно будет убедиться, что они одного порядка величины.

Затем, установить первое значение тока в соленоиде, соответствующее величине магнитного поля **10** эрстед. После проведения магнитной подготовки, которая заключается в коммутации (не менее 4 позиций) тока в соленоиде при помощи коммутатора K_2 , можно приступить к измерению холловского напряжения (E). Направление магнитного поля, первичный ток через образец и напряжение E_1 можно считать условно положительными, если коммутаторы K_2 , K_3 зафиксированы в положениях (+), соответственно. После этого необходимо изменить направление магнитного поля на противоположное (коммутатор K_2 зафиксировать в положении (-) и определить величину и знак холловского напряжения E_2 . Переходя к следующим значениям магнитного поля в соленоиде, получить остальные значения измеряемой зависимости $E=f(H)$.

Те же самые измерения провести при другом направлении тока через образец (коммутатор К₃ поставить в другое фиксированное положение) и получить соответствующие значения напряжения Е₃ и Е₄.

Результаты измерений необходимо занести в таблицу (См. приложение 1).

Измерение намагнченности

Намагнченность образца измеряется при тех же значениях напряженности магнитного поля, что и ЭДС Холла. Показания α стрелочного индикатора прибора для измерения магнитного потока Ф-18 внести в таблицу 1. Намагнченность образца рассчитывается по формуле

$$M = 1/4\pi (B - H) \quad (29)$$

Величина индукции магнитного поля рассчитывается из соотношения $B = \alpha / (2 * S * n)$, где площадь сечения измерительной катушки $S = 0,75 \cdot 10^{-4} \text{ м}^2$, число витков измерительной катушки $n = 6$, показания прибора для измерения магнитного потока - α .

Перед измерением намагнченности необходимо размагнитить образец, как это было указано ранее. Далее необходимо подготовить прибор для измерения магнитного потока Ф-18 к измерению. Для этого необходимо переключатель рода работ поставить в положение (Ф) измерения магнитного потока. Проверить нулевое положение стрелки прибора, если стрелка указывает не нуль, то с помощью ручек «Коррекция» добиться правильного положения стрелки. После этого поставить переключатель пределов измерения в положение $15 \mu \text{ Wb}$, а переключатель «измерение-нуль» в положение «измерение». Если стрелка прибора начнёт дрейфовать от нулевого положения включить переключатель «сухой элемент» и с помощью переменных сопротивлений коррекции «грубо» и «точно» добиться остановки движения стрелки в положении «0».

Показания прибора внести в таблицу (см. приложение 1)

Проведение измерений намагнченности

Включить амперметр Ц-4311 в режим измерения постоянного тока и установить первое значение постоянного тока, соответствующее значению напряженности магнитного поля 10 Э. Провести магнитную подготовку образца. Для этого коммутатором К₂ произвести несколько (четыре) переключений. Далее переключатель «измерение-нуль» поставить в положение «измерение» (стрелка прибора должна располагаться в нулевом положении) и произвести переключение направления постоянного тока коммутатором К₂. Зафиксировать максимальный отброс (α) стрелки от нулевого положения . Переключатель «измерение-нуль» на приборе Ф-18 поставить в положение «нуль». Полученное значение магнитного потока α записать в таблицу 1. Далее провести аналогичные измерения магнитного потока при других значениях постоянного электрического тока в соленоиде. Размеры образца и чувствительность измерительного прибора не позволяют при измерениях воспользоваться одним пределом измерений $15 \mu \text{ Wb}$. Поэтому в процессе измерений необходимо переключать Ф-18 на более грубые пределы измерений 75 или $300 \mu \text{ Wb}$.

Обработка результатов

После заполнения таблицы (см. приложение 1) необходимо построить графики зависимостей $E_h = f(H)$, $M = f(H)$ и $E_h = f(M)$. Используя соотношение (16) и выражение для плотности тока $j = I/h$, где $I=3\text{A}$, ширина пластинки $h = 12 \text{ mm}$, определить значение ферромагнитной постоянной Холла для данного сплава. Значения E_h и M взять при техническом насыщении сплава.

Приложение 1.

ТАБЛИЦА 1.

№	I (A)	+ I		- I		E _h (μV)	H (Э)	α (μВб)	B (Гс)	M (Гс)
		E ₁ +H	E ₂ +H	E ₃ +H	E ₄ +H					
1	0,1									
2	0,2									
3	0,3									
4	0,4									
5	0,5									
6	0,6									
7	0,7									
8	0,8									
9	0,9									
10	1,0									
11	1,2									
12	1,4									
13	1,6									
14	1,8									
15	2,0									
16	2,5									
17	3,0									
18	3,5									
19	4,0									
20	4,5									

Дополнительные вопросы

- 1.Основные характеристики электропроводности проводящих материалов.
2. Уравнение движения носителей тока в проводниках.
3. От каких величин зависит величина угла между направлением дрейфа носителя и направлением электрического поля? Рассмотреть случаи слабых и сильных магнитных полей.
- 4.Что такое дрейфовая подвижность носителей тока в проводнике?
- 5.Получить уравнения, связывающие компоненты электропроводности и удельного электрического сопротивления.
- 6.Что такое эффект Холла в проводнике. Объяснить зависимость эффекта Холла от параметров электрического и магнитного поля.
- 7.Что такое холловская подвижность носителей тока?
- 8.Эффект Холла в ферромагнетиках. Описать особенности двух моделей эффекта Холла в ферромагнетиках.
- 9.Описать "побочные" явления при измерении эффекта Холла.
10. Привести блок схему установки для измерения эффекта Холла.
11. Описать процесс измерения холловского сопротивления

Литература.

1. Вонсовский С.В. Магнетизм. М., Наука, 1971.
2. Ведяев А.В., Грановский А.Б., Котельникова О.А. Кинетические явления в неупорядоченных ферромагнитных сплавах. - М. Издательство МГУ, 1992. - 160с.

Учебное издание

ПРУДНИКОВ Валерий Николаевич

ПЕРОВ Николай Сергеевич

ПРУДНИКОВА Мария Валерьевна

ЭФФЕКТ ХОЛЛА
СПЕЦПРАКТИКУМ

Учебное пособие

Издательство ООО “МАКС Пресс”

Лицензия ИД N 00510 от 01.12.99 г.

Подписано в печать 30.11.2012 г.

Печать офсетная. Бумага офсетная.

Формат 60x90 1/16. Усл.печ.л. 1,74. Тираж 50 экз. Изд. № 471.

119992, ГСП-2, Москва, Ленинские горы, МГУ им. М.В. Ломоносова,

2-й учебный корпус, 527 к.

Тел. 8-495-939-3890, 8-495-939-3891. Тел./Факс 8-495-939-3891.

Напечатано с готового оригинал-макета

Типография МГУ

119991, ГСП-1, Ленинские горы, д. 1, стр. 15

Заказ № 1545